

УДК 539.3

О МОДЕЛИРОВАНИИ ОДНОГО КЛАССА КУСОЧНО-  
 ОДНОРОДНЫХ ЗАДАЧ ТЕОРИИ УПРУГОСТИ

ВАРДАНЯН Г. С., ФРИШТЕР Л. Ю.

В различных областях техники широкое распространение находят конструкции, составленные из упругих элементов с различными физико-механическими характеристиками. Такие конструкции называются кусочно-однородными (составными) конструкциями.

При моделировании кусочно-однородных задач экспериментальным методом механики деформируемого твердого тела—методом фотоупругости, возникают трудности, связанные с необходимостью подбора оптически чувствительных материалов с различными модулями упругости, и методического характера. Моделирование составных конструкций при заданных внешних усилиях рассмотрено в работе [1].

Рассмотрим кусочно-однородное пространственное одно- или многосвязное тело  $\Omega$ , состоящее из частей  $\Omega_1$  и  $\Omega_2$ , соединенных между собой по поверхности  $\Gamma$ . Части  $\Omega_1$  и  $\Omega_2$  различаются только значением модуля упругости ( $E_1 < E_2$ ). Коэффициенты Пуассона и теплового расширения для этих частей примем одинаковыми.\*

На наружной поверхности  $S$  могут быть заданы: на части  $S_\sigma$ —напряжения  $f_i$  и на части  $S_u$ —перемещения  $\varphi_i$ . Кроме того, в теле могут быть заданы массовые силы  $F_i$  и температурное поле  $T$ .

Напряжения  $\sigma_{ij}$  такой кусочно-однородной задачи удовлетворяют уравнениям равновесия

$$\sum_j \frac{\partial \sigma_{ij}}{\partial j} + F_i = 0 \quad (1)$$

Деформации  $\epsilon_{ij}$ , связанные с перемещениями  $u_i$  соотношениями

$$2\epsilon_{ij} = \frac{\partial u_i}{\partial j} + \frac{\partial u_j}{\partial i} \quad (2)$$

удовлетворяют уравнениям неразрывности

$$\frac{\partial^2 \epsilon_{i\tau}}{\partial k \partial l} + \frac{\partial^2 \epsilon_{kl}}{\partial i \partial j} - \frac{\partial^2 \epsilon_{il}}{\partial i \partial k} - \frac{\partial^2 \epsilon_{ik}}{\partial j \partial l} = 0 \quad (3)$$

При этом на поверхности  $S$  выполняются граничные условия

\* Коэффициенты теплового расширения частей также могут быть различными. Это не вызывает принципиальных трудностей.

$$\sum_j \sigma_{ij} n_j |_{S_a} = f_i; \quad u_i |_{S_a} = \varphi_i \quad (4)$$

а на поверхности раздела  $\Gamma$ —условия полного контакта

$$\sigma_{z1} |_{\Gamma} = \sigma_{z2} |_{\Gamma}; \quad u_{i1} |_{\Gamma} = u_{i2} |_{\Gamma} \quad (5)$$

Деформации и напряжения связаны следующими соотношениями:

$$\varepsilon_{ij1} = \frac{1}{E_1} [(1+\nu)\sigma_{ij1} - \delta_{ij}\nu S_1] + \varepsilon_{ij}^T \quad (6)$$

$$\varepsilon_{ij2} = \frac{1}{E_2} [(1+\nu)\sigma_{ij2} - \delta_{ij}\nu S_2] + \varepsilon_{ij}^T \quad (7)$$

Здесь

$$\varepsilon_{ij}^T = \delta_{ij} \alpha T \quad (8)$$

Остальные обозначения в соотношениях (1)–(7) общеприняты и не требуют объяснений.

Ниже рассматриваемая кусочно-однородная задача сводится к решению ряда однотипных однородных задач с дилатациями, достаточно просто реализуемых на моделях методом „замораживания“.

Введем вспомогательные задачи для отдельных частей  $\Omega_1$  и  $\Omega_2$ , обусловленные только действием температурного поля. Решения этих задач обозначим через  $(\sigma'_{ij}, \varepsilon'_{ij}, u'_i)$ .

Для дальнейшего изложения введем сокращенную запись соотношений (1)–(7) в виде

$$\{\sigma F; \varepsilon u; S_j f; S_u \varphi; \Gamma \sigma; \Gamma u; \varepsilon E_1 \varepsilon^T; \varepsilon E_2 \varepsilon^T\} \quad (9)$$

Рассмотрим также кусочно-однородную задачу для тела  $\Omega$

$$\{\sigma^{(H)} F; \varepsilon^{(H)} u^{(H)}; S_j f; S_u \varphi; \Gamma \sigma^{(H)}; \Gamma u^{(H)}; \varepsilon^{(H)} E_1 \varepsilon'; \varepsilon^{(H)} E_2 \varepsilon'\} \quad (10)$$

отличающуюся от задачи (9) только тем, что в частях  $\Omega_1$  и  $\Omega_2$  вместо температуры заданы дилатации соответственно  $\varepsilon'_{ij1}$  и  $\varepsilon'_{ij2}$ .

Очевидно, что

$$\sigma_{ij} = \sigma'_{ij} + \sigma_{ij}^{(H)}; \quad u_i = u'_i + u_i^{(H)}; \quad \varepsilon_{ij} = \varepsilon'_{ij} + \varepsilon_{ij}^{(H)} \quad (11)$$

При этом, если температурное поле в отдельных частях  $\Omega_1$  и  $\Omega_2$  тела со свободными границами не вызывает напряжения ( $\sigma'_{ij} = 0$ ), то решения задач (9) и (10) совпадают.

Далее рассмотрим соответствующую однородную задачу

$$\{\sigma^{(0)} F; \varepsilon^{(0)} u^{(0)}; S_j f; S_u \varphi; 0 \sigma^{(0)}; 0 u^{(0)}; \varepsilon^{(0)} E_1 \varepsilon'; \varepsilon^{(0)} E_2 \varepsilon'\} \quad (12)$$

для тела  $\Omega$  при тех же воздействиях, что и в задаче (10) и неоднородную задачу несовместности

$$\{\sigma^{(H,1)} 0; \varepsilon^{(H,1)} u^{(H,1)}; S_j 0; S_u 0; \Gamma \sigma^{(H,1)}; \Gamma u^{(H,1)}; \varepsilon^{(H,1)} E_1 0; \varepsilon^{(H,1)} E_2 \widehat{K} \varepsilon^{(0)}\} \quad (13)$$

Здесь

$$K = 1 - \frac{E_1}{E_2}; \quad \widehat{\varepsilon}_{ij}^{(0)} = \varepsilon'_{ij} - \varepsilon_{ij}^{(0)} \quad (14)$$



Согласно принципу сложения решения задач (10), (12) и (13) связаны следующим равенством:

$$(\sigma_{ij}^{(H)}, u_i^{(H)}, \varepsilon_{ij}^{(H)}) = (\sigma_{ij}^{(0)}, u_i^{(0)}, \varepsilon_{ij}^{(0)}) + (\sigma_{ij}^{(H,1)}, u_i^{(H,1)}, \varepsilon_{ij}^{(H,1)}) \quad (15)$$

Теперь рассмотрим однородную задачу несовместности

$$\{\sigma^{(1)}0; \varepsilon^{(1)}u^{(1)}; S_z0; S_u0; 0\sigma^{(1)}; 0u^{(1)}; \varepsilon^{(1)}E_10; \varepsilon^{(1)}E_1K\widehat{\varepsilon}^{(0)}\} \quad (16)$$

и вторую неоднородную задачу несовместности

$$\{\sigma^{(H,2)}0; \varepsilon^{(H,2)}u^{(H,2)}; S_z0; S_u0; \Gamma\sigma^{(H,2)}, \Gamma u^{(H,2)}; \varepsilon^{(H,2)}E_10; \varepsilon^{(H,2)}E_2K\widehat{\varepsilon}^{(1)}\} \quad (17)$$

где

$$\widehat{\varepsilon}_{ij}^{(1)} = K\varepsilon'_{ij} - K\varepsilon_{ij}^{(0)} - \varepsilon_{ij}^{(1)} \quad (18)$$

По принципу сложения решения задач (13), (16) и (17) тоже связаны равенством

$$(\sigma_{ij}^{(H,1)}, u_i^{(H,1)}, \varepsilon_{ij}^{(H,1)}) = (\sigma_{ij}^{(1)}, u_i^{(1)}, \varepsilon_{ij}^{(1)}) + (\sigma_{ij}^{(H,2)}, u_i^{(H,2)}, \varepsilon_{ij}^{(H,2)}) \quad (19)$$

Используя принцип математической индукции, получим

$$(\sigma_{ij}^{(H,n)}, u_i^{(H,n)}, \varepsilon_{ij}^{(H,n)}) = (\sigma_{ij}^{(n)}, u_i^{(n)}, \varepsilon_{ij}^{(n)}) + (\sigma_{ij}^{(H,n+1)}, u_i^{(H,n+1)}, \varepsilon_{ij}^{(H,n+1)}) \quad (20)$$

где  $(\sigma_{ij}^{(n)}, u_i^{(n)}, \varepsilon_{ij}^{(n)})$  — решение „ $n$ ”-ой однородной задачи несовместности

$$\{\sigma^{(n)}0; \varepsilon^{(n)}u^{(n)}; S_z0; S_u0; 0\sigma^{(n)}; 0u^{(n)}; \varepsilon^{(n)}E_10; \varepsilon^{(n)}E_1K\widehat{\varepsilon}^{(n-1)}\} \quad (21)$$

Здесь

$$\widehat{\varepsilon}_{ij}^{(n-1)} = K^{n-1}\varepsilon'_{ij} - K^{n-1}\varepsilon_{ij}^{(0)} - K^{n-2}\varepsilon_{ij}^{(1)} - \dots - K\varepsilon_{ij}^{(n-2)} - \varepsilon_{ij}^{(n-1)} \quad (22)$$

Как видно из (21), напряженно-деформированное состояние „ $n$ ”-ой однородной задачи несовместности обусловлено дисторсиями в области  $\Omega_2$ , равными деформациям (22), уменьшенным в „ $K$ ” раз, вызванными напряжениями предыдущей задачи в той же области.

На основании (15), (19) и рекуррентного соотношения (20) получим

$$\sigma_{ij}^{(H)}, u_i^{(H)}, \varepsilon_{ij}^{(H)} = \sum_{n=0}^{\infty} (\sigma_{ij}^{(n)}, u_i^{(n)}, \varepsilon_{ij}^{(n)}) \quad (23)$$

Из (21) видно, что решение „ $n$ ”-ой однородной задачи несовместности можно представить в виде

$$(\sigma_{ij}^{(n)}, u_i^{(n)}, \varepsilon_{ij}^{(n)}) = K^n(\widetilde{\sigma}_{ij}^{(n)}, \widetilde{u}_i^{(n)}, \widetilde{\varepsilon}_{ij}^{(n)}) \quad (24)$$

где  $(\widetilde{\sigma}_{ij}^{(n)}, \widetilde{u}_i^{(n)}, \widetilde{\varepsilon}_{ij}^{(n)})$  — решение „ $n$ ”-ой приведенной задачи несовместности

$$\{\widetilde{\sigma}^{(n)}0; \widetilde{\varepsilon}^{(n)}\widetilde{u}^{(n)}; S_z0; S_u0; 0\widetilde{\sigma}^{(n)}; 0\widetilde{u}^{(n)}; \widetilde{\varepsilon}^{(n)}E_10; \widetilde{\varepsilon}^{(n)}E_1\widetilde{\varepsilon}^{(n-1)}\} \quad (25)$$

независящее от „ $K$ ”.

Здесь

$$\widetilde{\varepsilon}_{ij}^{(n-1)} = \widetilde{\varepsilon}'_{ij} - \widetilde{\varepsilon}_{ij}^{(0)} - \widetilde{\varepsilon}_{ij}^{(1)} - \dots - \widetilde{\varepsilon}_{ij}^{(n-2)} - \widetilde{\varepsilon}_{ij}^{(n-1)} \quad (26)$$

С учетом (24) соотношение (23) можно записать в виде

$$(\sigma_{ij}^{(H)}, u_i^{(H)}, e_{ij}^{(H)}) = \sum_{n=0}^{\infty} K^n (\tilde{\sigma}_{ij}^{(n)}, \tilde{u}_i^{(n)}, \tilde{e}_{ij}^{(n)}) \quad (27a)$$

или

$$\xi^{(H)} = \sum_{n=0}^{\infty} K^n \tilde{\xi}^{(n)} \quad (27b)$$

где через  $\xi$  обозначена любая компонента напряжений, перемещений или деформаций.

Используя очевидное неравенство

$$|\tilde{\xi}^{(n)}| \leq |\tilde{\xi}^{(1)}|_{\max} \quad (28)$$

где  $|\tilde{\xi}^{(1)}|_{\max}$  — наибольшее значение напряжений, перемещений или деформаций первой однородной задачи несовместности, получим, что

ряд  $\sum_{n=0}^{\infty} K^n \tilde{\xi}^{(n)}$  мажорируется сходящимся геометрическим рядом  $\sum_{n=0}^{\infty} K^n$  ( $0 < K < 1$ ). Следовательно, ряд  $\sum_{n=0}^{\infty} K^n \tilde{\xi}^{(n)}$  сходится равномерно.

Вследствие сходимости ряда  $\sum_{n=0}^{\infty} K^n \tilde{\xi}^{(n)}$  его сумму можно оценить при помощи рекуррентных соотношений, выполняющихся с заданной точностью, для функциональной последовательности  $\{\tilde{\xi}^{(n)}\}$ .

В ряде случаев в качестве рекуррентного соотношения можно задать следующую линейную комбинацию:

$$\frac{\tilde{\xi}^{(n+1)} - \tilde{\xi}^{(n+2)}}{\tilde{\xi}^{(n)}} = c \quad (c < 1) \quad (29)$$

В этих случаях ряд (27) суммируется и получается следующий окончательный результат:

$$\xi^{(H)} = \frac{1-K}{1-K+K^2c} \tilde{\xi}^{(0)} + \frac{K}{1-K+K^2c} \tilde{\xi}^{(1)} \quad (30)$$

Для иллюстрации предложенной методики решения кусочно-однородных задач рассмотрим следующий пример.

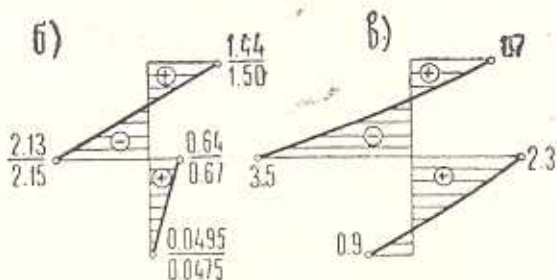
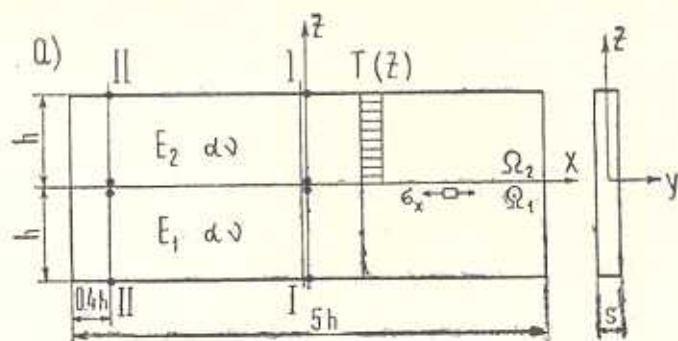
Полоса шириною  $2h$  при отсутствии объемных и поверхностных сил находится под действием температурного поля

$$T(z) = \begin{cases} 0, & -h \leq z \leq 0 \\ T_0, & 0 < z \leq h \end{cases} \quad (31)$$

Область  $\Omega_1$  ( $-h \leq z \leq 0$ ) имеет модуль упругости  $E_1$ , а область  $\Omega_2$  ( $0 < z \leq h$ ) имеет модуль упругости  $E_2$ .

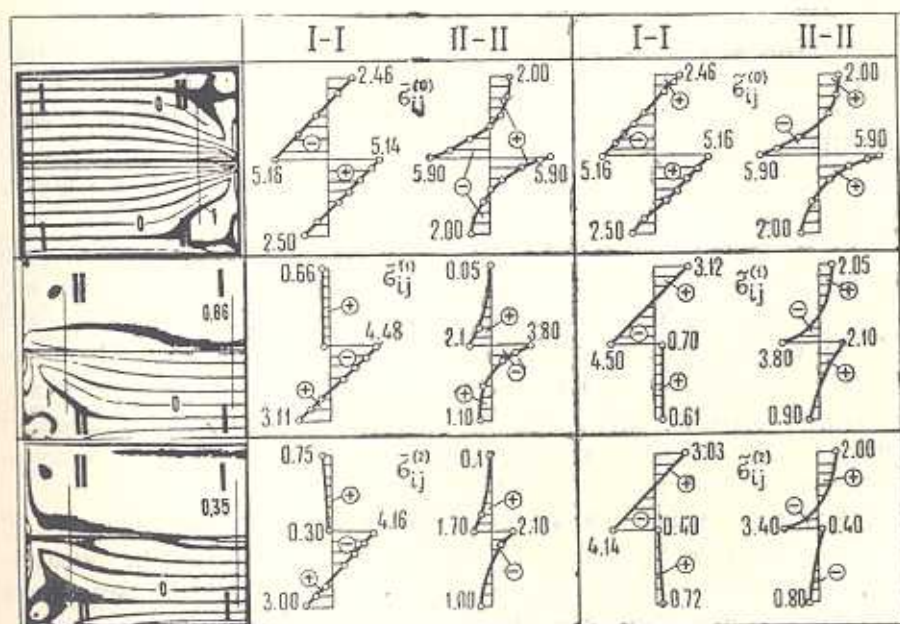
Напряжения исходной кусочно-однородной задачи согласно [2] определяются выражениями:

в области  $\Omega_1$



Фиг. 1. Пример моделирования термоупругих напряжений в биметаллической пластине:

- а) схема кусочно-однородной задачи;  
 б) сравнение теоретических (числитель) и экспериментальных (знаменатель) значений напряжений  $\sigma_{xx}$  в долях  $\alpha T_0 E_1$  по среднему сечению I—I;  
 в) эпюры экспериментальных значений напряжений  $\sigma_1 - \sigma_2$  по сечению II—II.



Фиг. 2. Картины полос и эпюры напряжений в моделях однородных задач.



$$\sigma_{xx} = \frac{\alpha T_0 E_1 E_2}{E_1^2 + E_2^2 + 14 E_1 E_2} \left[ E_2 + \left( 7 + \frac{12z}{h} \right) E_1 \right] \quad (32a)$$

в области  $\Omega_2$

$$\sigma_{xx} = \frac{\alpha T_0 E_1 E_2}{E_1^2 + E_2^2 + 14 E_1 E_2} \left[ \left( \frac{12z}{h} - 7 \right) E_2 - E_1 \right] \quad (32b)$$

Напряжения вспомогательных задач для отдельных частей  $\Omega_1$  и  $\Omega_2$  равны нулю ( $\sigma_{ij} = 0$ ), а напряжения первых трех однородных задач, входящих в (27), определяются выражениями: в области  $\Omega_1$

$$\tilde{\sigma}_{xx}^{(0)} = \alpha T_0 E_1 \left( \frac{1}{2} + \frac{3z}{4h} \right); \quad \tilde{\sigma}_{xx}^{(1)} = \frac{1}{16} \alpha T_0 E_1; \quad \tilde{\sigma}_{xx}^{(2)} = \alpha T_0 E_1 \left( \frac{1}{32} - \frac{3z}{64h} \right) \quad (33a)$$

в области  $\Omega_2$

$$\begin{aligned} \tilde{\sigma}_{xx}^{(0)} &= \alpha T_0 E_1 \left( -\frac{1}{2} + \frac{3z}{4h} \right); & \tilde{\sigma}_{xx}^{(1)} &= \alpha T_0 E_1 \left( -\frac{7}{16} + \frac{3z}{4h} \right) \\ \tilde{\sigma}_{xx}^{(2)} &= \alpha T_0 E_1 \left( -\frac{13}{32} + \frac{45z}{64h} \right) \end{aligned} \quad (33b)$$

Нетрудно проверить, что напряжения рассматриваемой кусочно-однородной задачи (32) связаны с напряжениями однородных задач (33) с помощью зависимости (30), то есть

$$\sigma_{xx} = \sigma_{xx}^{(H)} = \frac{1-K}{1-K+K^2c} \tilde{\sigma}_{xx}^{(0)} + \frac{K}{1-K+K^2c} \tilde{\sigma}_{xx}^{(1)} \quad (34)$$

где

$$K = 1 - \frac{E_1}{E_2}; \quad c = \frac{\tilde{\sigma}_{xx}^{(1)} - \tilde{\sigma}_{xx}^{(2)}}{\tilde{\sigma}_{xx}^{(0)}} = \frac{1}{16} \quad (35)$$

Экспериментальную реализацию предлагаемой методики иллюстрируем на примере моделирования термоупругих напряжений в биметаллической пластине (фиг. 1) при действии температурного поля вида (31).

Решаются первые три однородные задачи несовместности следующим образом:

1. Однородная модель из эпоксидного материала с модулем упругости  $E_1 = 200$  кг/см<sup>2</sup> и оптической постоянной  $\sigma^{1.0} = 0,341$  кг/см в высокоэластичном состоянии с заданными размерами ( $h = 2$  см,  $s = 0,59$  см) склеивалась из двух элементов. Элемент области  $\Omega_1$  вырезался из пластины с «замороженными» деформациями при растягивающем напряжении  $\sigma = 1,97$  кг/см<sup>2</sup> в продольном направлении. Элемент области  $\Omega_2$  не деформировался. После склейки элементов и «размораживания» [3] в модели возникли изгибы  $\tilde{\sigma}_{xx}^{(0)}$ .

2. Из предыдущей модели с «замороженными» деформациями  $\tilde{\sigma}_{xx}^{(0)}$  вырезалась область  $\Omega_2$ , которая склеивалась с областью  $\Omega_1$ , находящейся в естественном недеформированном состоянии. В результате «размораживания» в модели возникли напряжения  $\tilde{\sigma}_{xx}^{(1)}$ .

3. Третья задача решалась аналогично второй—склеиванием области  $\Omega_2$  с «замороженными» деформациями  $\bar{\varepsilon}_{xx}^{(1)}$  с недеформированной областью  $\Omega_1$  и последующим «размораживанием» модели.

На фиг. 2 приведены картины полос для исследованных трех однородных задач и эюры порядков полос, соответствующие напряжениям  $\bar{\sigma}_{xx}^{(0)}$ ,  $\bar{\sigma}_{xx}^{(1)}$ ,  $\bar{\sigma}_{xx}^{(2)}$  по среднему сечению 1—1 и напряжениям  $\bar{\sigma}_1 - \bar{\sigma}_2$  по сечению II—II на расстоянии  $0,4h$  от торца пластины.

Заметим, что напряжения  $\bar{\sigma}_{xx}^{(1)}$  и  $\bar{\sigma}_{xx}^{(2)}$ , определяемые экспериментально, отличаются от напряжений  $\tilde{\sigma}_{xx}^{(1)}$  и  $\tilde{\sigma}_{xx}^{(2)}$ , входящих в соотношения (34) и (35). При определении  $\tilde{\sigma}_{xx}^{(1)}$  и  $\tilde{\sigma}_{xx}^{(2)}$  в моделях создавались дисторсии, равные соответственно  $-\varepsilon_{xx}^{(0)}$  и  $-\varepsilon_{xx}^{(1)}$ , в то время как напряжения  $\tilde{\sigma}_{xx}^{(1)}$  и  $\tilde{\sigma}_{xx}^{(2)}$  обусловлены дисторсиями соответственно равными  $\alpha T_0 - \varepsilon_{xx}^{(0)}$  и  $\alpha T_0 - \varepsilon_{xx}^{(0)} - \varepsilon_{xx}^{(1)}$ . С учетом этого переход от  $\tilde{\sigma}_{xx}^{(1)}$  и  $\tilde{\sigma}_{xx}^{(2)}$  к  $\bar{\sigma}_{xx}^{(1)}$  и  $\bar{\sigma}_{xx}^{(2)}$  соответственно осуществлялся по принципу сложения. Эюры этих напряжений приведены также на фиг. 2.

Из эюр напряжений на фиг. 2 видно, что значение  $c$ , вычисленное по формуле (35), колеблется от 0,03 до 0,07. Принимая  $c=0,05$  и  $K=5/6$  по формуле (34) определены экспериментальные значения напряжений кусочно-однородной задачи. Эти значения показаны на эюрах фиг. 1б (знаменатели) и фиг. 1в. На фиг. 1б в числителе показаны теоретические значения напряжений, вычисленные по формулам (32). Максимальное расхождение теоретических и экспериментальных значений не превышает 6%.

ԱՌՍԶԳՍԿԱՆՈՒԹՅԱՆ ՏԵՍՈՒԹՅԱՆ ԿՏՈՐ ԱՌ ԿՏՈՐ ՀԱՄԱՍԵՌ  
ԽՆԴԻՐՆԵՐԻ ՄԻ ԳԱՍԻ ՄՈԴԵԼԱՎՈՐՄԱՆ ՄԱՍԻՆ

Գ. Ս. ՎԱՐԴԱՆԻԱՆ, Լ. ՅՈՒ. ՖՐԻՇՏԵՐ

Ա մ փ ո փ ո մ

Շարադրվում է բևեռա-օպտիկան մեթոդով առաձգականության տեսության կտոր առ կտոր համասեռ խնդիրների մոդելավորման մեթոդ:

Կտոր առ կտոր համասեռ խնդիրը բերվում է մի շարք միասիրյ համասեռ խնդիրների լուծման:

Դիտարկվում են օրինակներ:

ON MODELLING OF ONE GROUP OF PIECEWISE HOMOGENEOUS  
PROBLEMS OF THE THEORY OF ELASTICITY

G. S. VARDANIAN, L. JUR. FRISHTER

S u m m a r y

The techniques of modelling of piecewise homogeneous problems of the theory of elasticity by means of photoelasticity is presented in

the paper. A piecewise homogeneous problem is reduced to a number of homogeneous similar problems with distortions simulated on the models by the "freezing" method. Some examples, proving theoretically and experimentally the techniques in question, are suggested.

#### ЛИТЕРАТУРА

1. *Варданян Г. С., Гетрик В. И.* О моделировании кусочно-однородных задач теории упругости поляризационно-оптическим методом. Материалы VIII Всесоюзной конференции по методу фотоупругости. Т. I. Таллин: 1979, с. 33—37.
2. *Александровский С. В.* Расчет бетонных и железобетонных конструкций на температурные и влажностные воздействия (с учетом ползучести). М.: Стройиздат, 1966, с. 291—297.
3. *Варданян Г. С., Пригоровский Н. Н.* Моделирование термоупругих напряжений в поляризационно-оптическом методе. Изд. АН СССР, Механика и машиностроение, 1962, № 4, с. 146—149.

Московский инженерно-строительный  
институт им. В. В. Куйбышева

Поступила в редакцию  
1.IV.1983